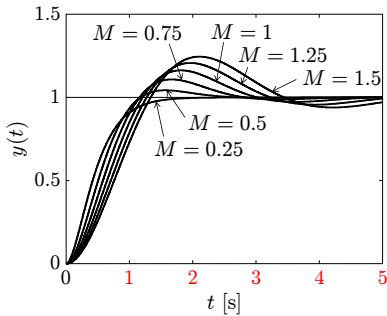
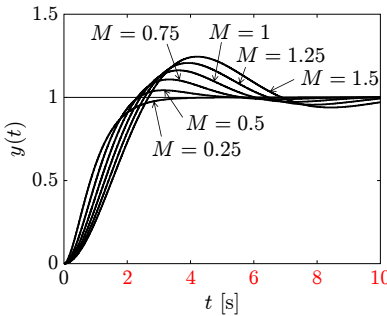
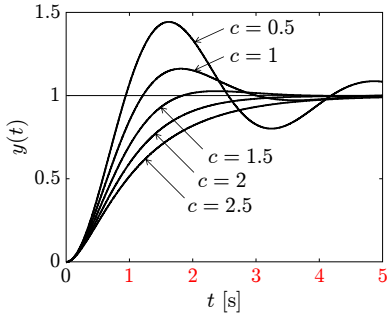
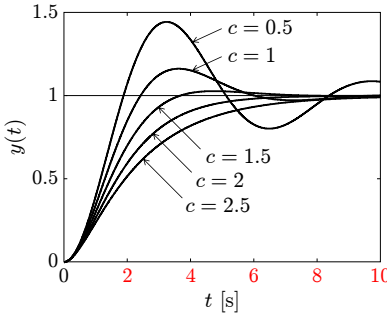
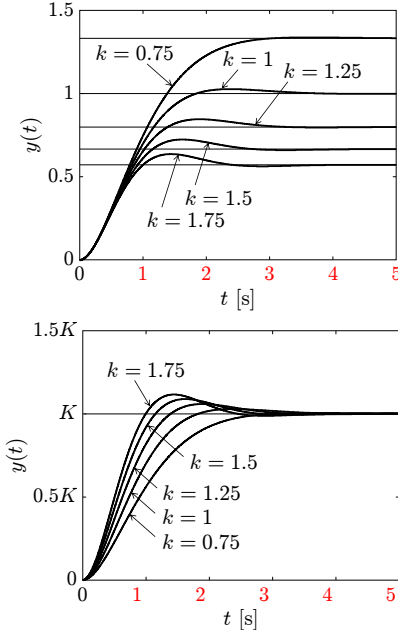
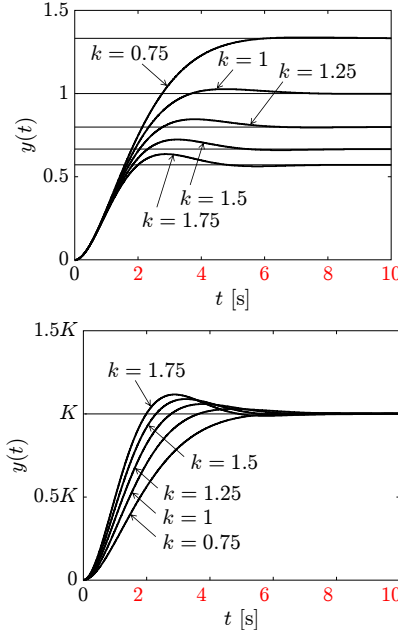
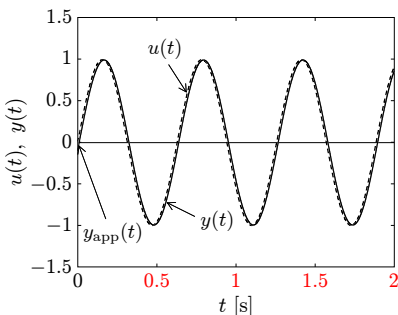
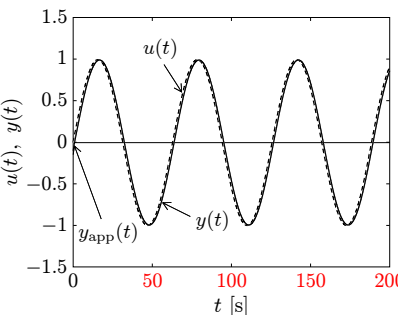
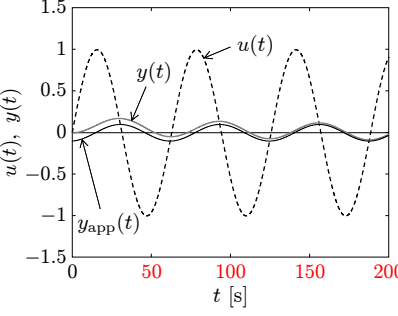
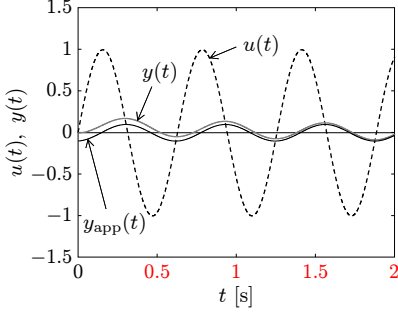


「MATLAB/Simulink による制御工学入門 (2020 年 2 月 10 日 第 1 版第 1 刷発行)」の正誤表です。

正 誤 表

該当箇所	誤	正
p. 16 の問題 1.7 (1)	において, $F_i(t)$ を $f(t)$, $f_s(t)$, $f_d(t)$ により表せ.	において, $F_i(t)$ を $f_2(t)$, $f_s(t)$, $f_d(t)$ により表せ.
p. 63	<p>M ファイル “hurwitz.m” の実行結果 (問題 3.3 (1))</p> <pre>>> sysP = tf([1 10],[1 2 3 10]); >> [numP denP] = tfdata(sysP,'v'); >> hurwitz “hurwitz.m” の実行 H = 2 10 0 1 3 0 0 2 10 H2 = -4 安定ではない ---> 条件 B" を満足しない</pre>	<p>M ファイル “hurwitz.m” の実行結果 (問題 3.3 (1))</p> <pre>>> sysP = tf([1 10],[1 1 4 30]); >> [numP denP] = tfdata(sysP,'v'); >> hurwitz “hurwitz.m” の実行 H = 1 30 0 1 4 0 0 1 30 H2 = -26 安定ではない ---> 条件 A を満足するが, 条件 B" を満足しない</pre>
p. 74 の (4.31) 式	$\dots = \frac{K\omega_n}{\sqrt{\zeta^2 - 1}}(e^{p_2 t} - e^{p_1 t}) \quad (t \geq 0)$	$\dots = \frac{K\omega_n}{2\sqrt{\zeta^2 - 1}}(e^{p_2 t} - e^{p_1 t}) \quad (t \geq 0)$
p. 76 の図 4.12	<p>横軸の目盛: 0, 1, 2, 3, 4, 5</p>  <p>図 4.12</p>	<p>横軸の目盛: 0, 2, 4, 6, 8, 10</p>  <p>図 4.12</p>
p. 76 の図 4.13	<p>横軸の目盛: 0, 1, 2, 3, 4, 5</p>  <p>図 4.13</p>	<p>横軸の目盛: 0, 2, 4, 6, 8, 10</p>  <p>図 4.13</p>

正 誤 表

該当箇所	誤	正
p. 76 の図 4.14	<p>横軸の目盛 : 0, 1, 2, 3, 4, 5</p>  <p>図 4.14</p>	<p>横軸の目盛 : 0, 2, 4, 6, 8, 10</p>  <p>図 4.14</p>
p. 117 の (6.31) 式	$C_3(s) = \frac{6}{s^2 + 4s + 6} = \dots$	$C_{ff}(s) = \frac{6}{s^2 + 4s + 6} = \dots$
p. 120 の (6.35) 式	$G_{m3}(s) = \frac{\omega_m^3}{s^2 + \alpha_2 \omega_m s^2 + \alpha_1 \omega_m^2 s + \omega_m^3}$	$G_{m3}(s) = \frac{\omega_m^3}{s^3 + \alpha_2 \omega_m s^2 + \alpha_1 \omega_m^2 s + \omega_m^3}$
p. 138 の図 7.2 (a)	<p>横軸の目盛 : 0, 0.5, 1, 1.5, 2</p>  <p>図 7.2 (a)</p>	<p>横軸の目盛 : 0, 50, 100, 150, 200</p>  <p>図 7.2 (a)</p>
p. 138 の図 7.2 (b)	<p>横軸の目盛 : 0, 50, 100, 150, 200</p>  <p>図 7.2 (b)</p>	<p>横軸の目盛 : 0, 0.5, 1, 1.5, 2</p>  <p>図 7.2 (b)</p>

正 誤 表

該当箇所	誤	正
p. 143 の表 7.1	右下から 2 つ目 : $-7.1.565$	右下から 2 つ目 : $-7.5.964$
p. 154 の下 1 行目の式	$\frac{df(\eta)}{d\eta} = 4\eta(\eta^2 + 2\zeta^2 - 1)$	$\frac{df(\eta)}{d\eta} = 4\eta(\eta^2 + 2\zeta^2 - 1)$
p. 155 の本文の上 1 行目	であるから, $df(\eta)/d\eta = 0$ となるのは	であるから, $df(\eta)/d\eta = 0$ となるのは
p. 165 の例 8.2	<p>実際, 特性多項式は</p> $\Delta(s) = (s+4)(s-1) - s + 6$ $= (s+1)(s+2) \quad (8.9)$ <p>であるので, 特性方程式 $\Delta(s) = 0$ の解は負の実数 $s = -1, -2$ となり, フィードバック制御系は安定となる.</p>	<p>実際, 特性多項式は</p> $\Delta(s) = (s+4)(s-1) - s + 6$ $= s^2 + 2s + 2 \quad (8.9)$ <p>であるので, 特性方程式 $\Delta(s) = 0$ の解は負の実数 $s = -1 \pm j$ となり, フィードバック制御系は安定となる.</p>
p. 180	<p>M ファイル “arm_p_cont.m”</p> <pre> 36 semilogx(w,20*log10(Gg_T),sty) 37 hold on 38 figure(2) 39 semilogx(w,20*log10(Gg_S),sty) 40 hold on Figure 1, 2 に $T(s), S(s)$ </pre>	<p>M ファイル “arm_p_cont.m”</p> <pre> 36 semilogx(w,20*log10(Gg_S),sty) 37 hold on 38 figure(2) 39 semilogx(w,20*log10(Gg_T),sty) 40 hold on Figure 1, 2 に $S(s), T(s)$ </pre>
p. 236 の (B.2) 式	$P(s) = \frac{k(z-z_1)(z-z_2)\cdots(z-z_m)}{(p-p_1)(p-p_2)\cdots(p-p_n)}$	$P(s) = \frac{k(s-z_1)(s-z_2)\cdots(s-z_m)}{(s-p_1)(s-p_2)\cdots(s-p_n)}$
p. 238 に示す関数 “margin” の使用例と説明	<p><u>使用例</u></p> $[G_m \ P_m \ wpc \ wgc] = \text{margin}(\text{sys})$ <p><u>説明</u></p> ゲイン余裕 G_M , 位相余裕 P_M	<p><u>使用例</u></p> $[\text{invL} \ P_m \ wpc \ wgc] = \text{margin}(\text{sys})$ $G_m = 20*\log_{10}(\text{invL})$ <p><u>説明</u></p> ゲイン余裕 G_m , 位相余裕 P_m
p. 250 の問題 4.4 (1) の解答	$\zeta = \frac{\xi}{\omega_n} \simeq 0.4.5595$	$\zeta = \frac{\xi}{\omega_n} \simeq 0.45595$